





























Génération de délaminages contrôlés dans les structures composites

Hadrien POSTORINO
Doctorant PIMM/ENSAM



Sommaire

- 1. Le délaminage
- 2. Principe du choc LASER
- 3. Résultats expérimentaux
- 4. Applications du procédé



Le délaminage dans les matériaux composites : un dommage majeur

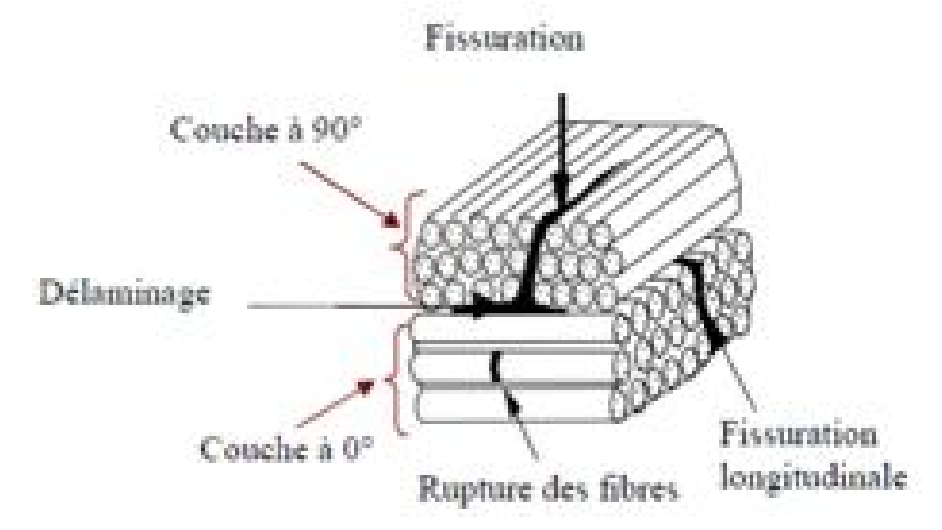
Causes : - défaut de fabrication ou

- fatigue du matériau

En fatigue, apparition en quatre étapes :

- 1 Fissuration de la matrice entre les fibres
- Propagation jusqu'à l'inter-plis
- 3. Rupture de l'interface entre deux plis
- 4. Décollement des plis

> Détection par CND ultrason



Modes d'endommagement dans un CFRP, Vu 2010



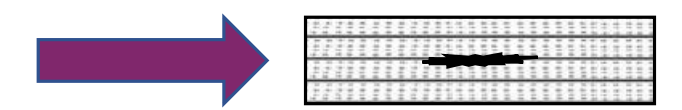
Des mesures sur dommages réels : un verrou important du SHM

Les procédures SHM sont testées sur des dommages artificiels :

Aimant	Trou à fond plat	Pull-out
Trou	Impact	Insert en Teflon

- \Longrightarrow Ces dommages irréalistes et/ou couteux
- \Longrightarrow limite le déploiement industriel du SHM

Choc Laser





Le choc LASER : principe et fondamentaux

Le choc LASER se décompose en trois phases :

1. La génération d'un rayonnement LASER et cheminement jusqu'à la cible

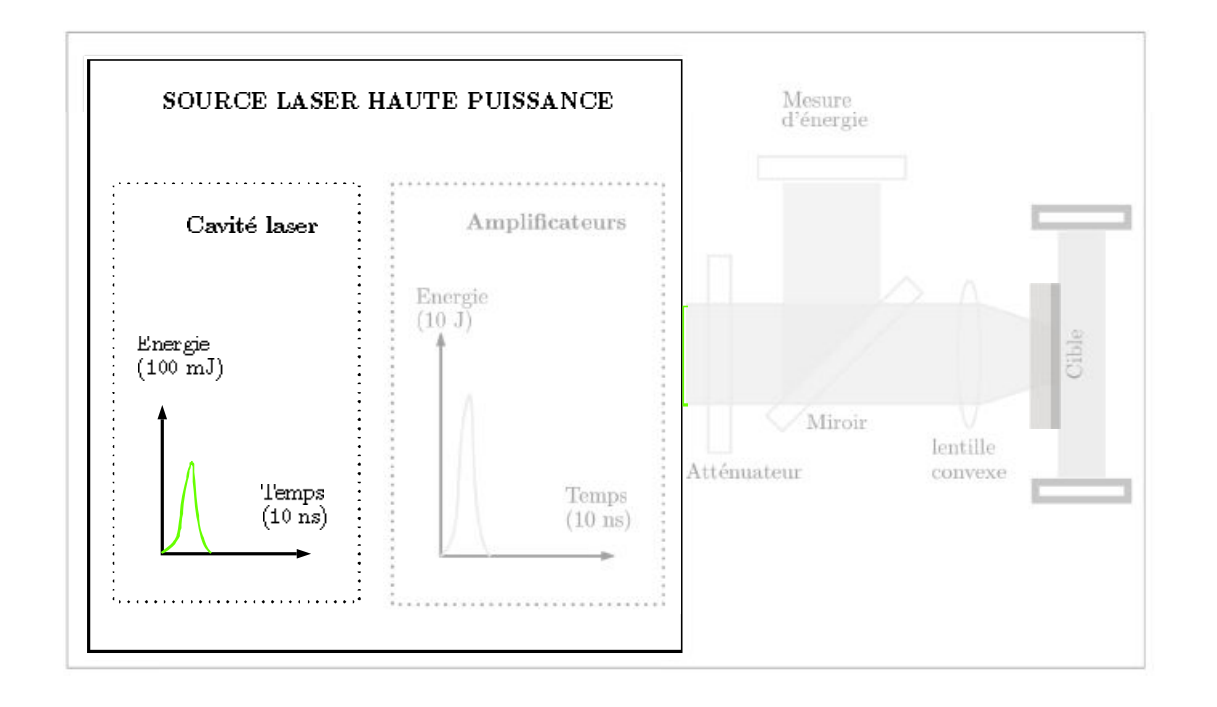
- Irradiation brève (Quelques ns) et intense (plusieurs GW/cm2) définie par la cavité
- Amplification
- Concentration de l'énergie LASER à l'aide d'une lentille convergente sur la cible

2. L'interaction Laser-Matière et génération de l'onde de choc

- Sublimation en plasma du milieu sacrificiel (dépôt d'aluminium)
- Dilatation du plasma
- Augmentation de la pression à l'aide du confinement
- Création d'un choc puis d'une détente

La propagation de l'onde de choc et génération du délaminage

- L'onde de choc et l'onde de détente se propage dans l'épaisseur
- Réflexion sur les parois
- Concentration des contraintes à l'intersection des ondes de détentes
- Apparition d'un délaminage





Le choc LASER : principe et fondamentaux

Le choc LASER se décompose en trois phases :

1. La génération d'un rayonnement LASER et cheminement jusqu'à la cible

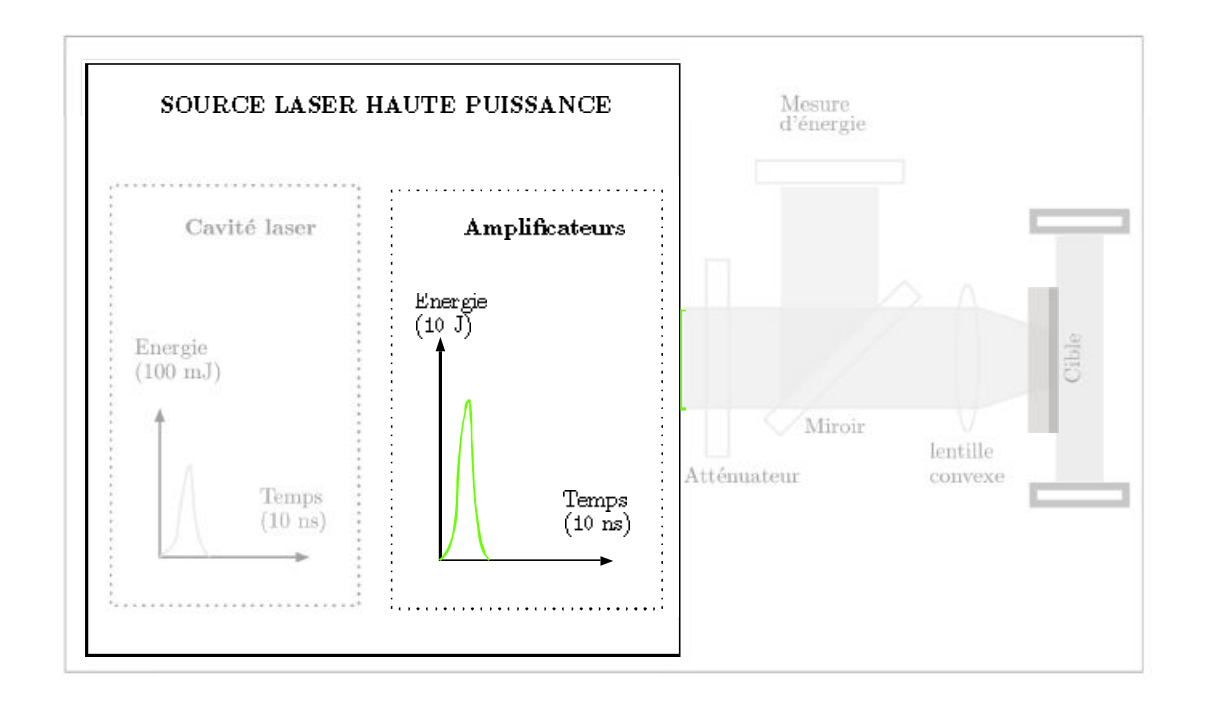
- Irradiation brève (Quelques ns) et intense (plusieurs GW/cm2) définie par la cavité
- Amplification
- Concentration de l'énergie LASER à l'aide d'une lentille convergente sur la cible

2. L'interaction Laser-Matière et génération de l'onde de choc

- Sublimation en plasma du milieu sacrificiel (dépôt d'aluminium)
- Dilatation du plasma
- Augmentation de la pression à l'aide du confinement
- Création d'un choc puis d'une détente

3. La propagation de l'onde de choc et génération du délaminage

- L'onde de choc et l'onde de détente se propage dans l'épaisseur
- Réflexion sur les parois
- Concentration des contraintes à l'intersection des ondes de détentes Apparition d'un délaminage





Le choc LASER : principe et fondamentaux

Le choc LASER se décompose en trois phases :

1. La génération d'un rayonnement LASER et cheminement jusqu'à la cible

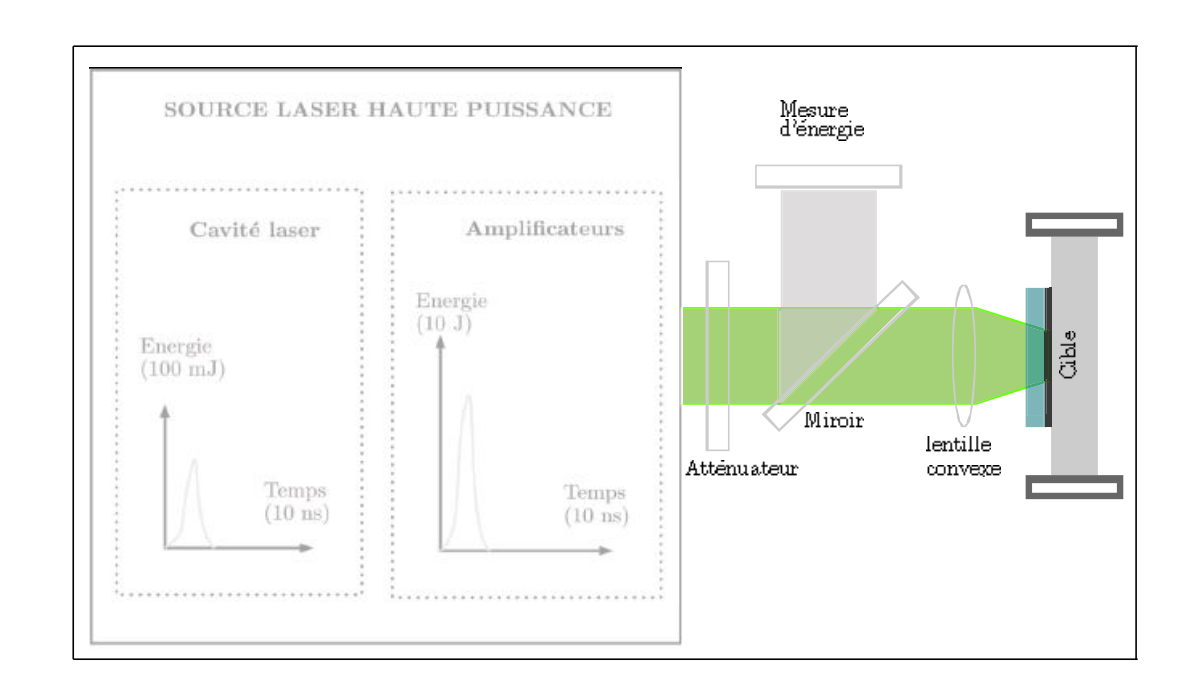
- Irradiation brève (Quelques ns) et intense (plusieurs GW/cm2) définie par la cavité
- Amplification
- Concentration de l'énergie LASER à l'aide d'une lentille convergente sur la cible

2. L'interaction Laser-Matière et génération de l'onde de choc

- Sublimation en plasma du milieu sacrificiel (dépôt d'aluminium)
- Dilatation du plasma
- Augmentation de la pression à l'aide du confinement
- Création d'un choc puis d'une détente

3. La propagation de l'onde de choc et génération du délaminage

- L'onde de choc et l'onde de détente se propage dans l'épaisseur
- Réflexion sur les parois
- Concentration des contraintes à l'intersection des ondes de détentes Apparition d'un délaminage





Le choc LASER : principe

Le choc LASER se décompose en trois phases :

La génération d'un rayonnement LASER et cheminement jusqu'à la cible

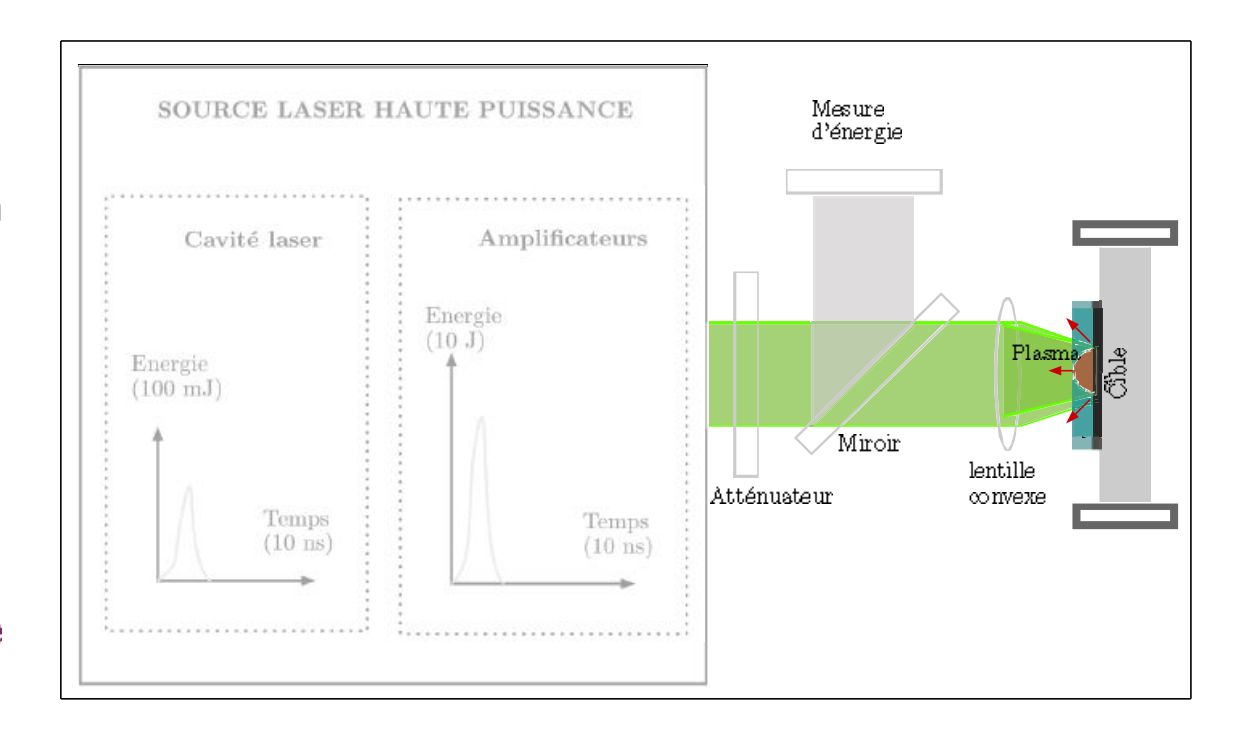
- Irradiation brève (Ouelques ns) et intense (plusieurs GW/cm2) définie par la cavité
- Amplification
- Concentration de l'énergie LASER à l'aide d'une lentille convergente sur la cible

2. L'interaction Laser-Matière et génération de l'onde de choc

- Sublimation en plasma du milieu sacrificiel (dépôt d'aluminium)
- Dilatation du plasma
- Augmentation de la pression à l'aide du confinement
- Création d'un choc puis d'une détente

La propagation de l'onde de choc et génération du délaminage

- L'onde de choc et l'onde de détente se propage dans l'épaisseur
- Réflexion sur les parois
- Concentration des contraintes à l'intersection des ondes de détentes Apparition d'un délaminage





Le choc LASER: principe

Le choc LASER se décompose en trois phases :

1. La génération d'un rayonnement LASER et cheminement jusqu'à la cible

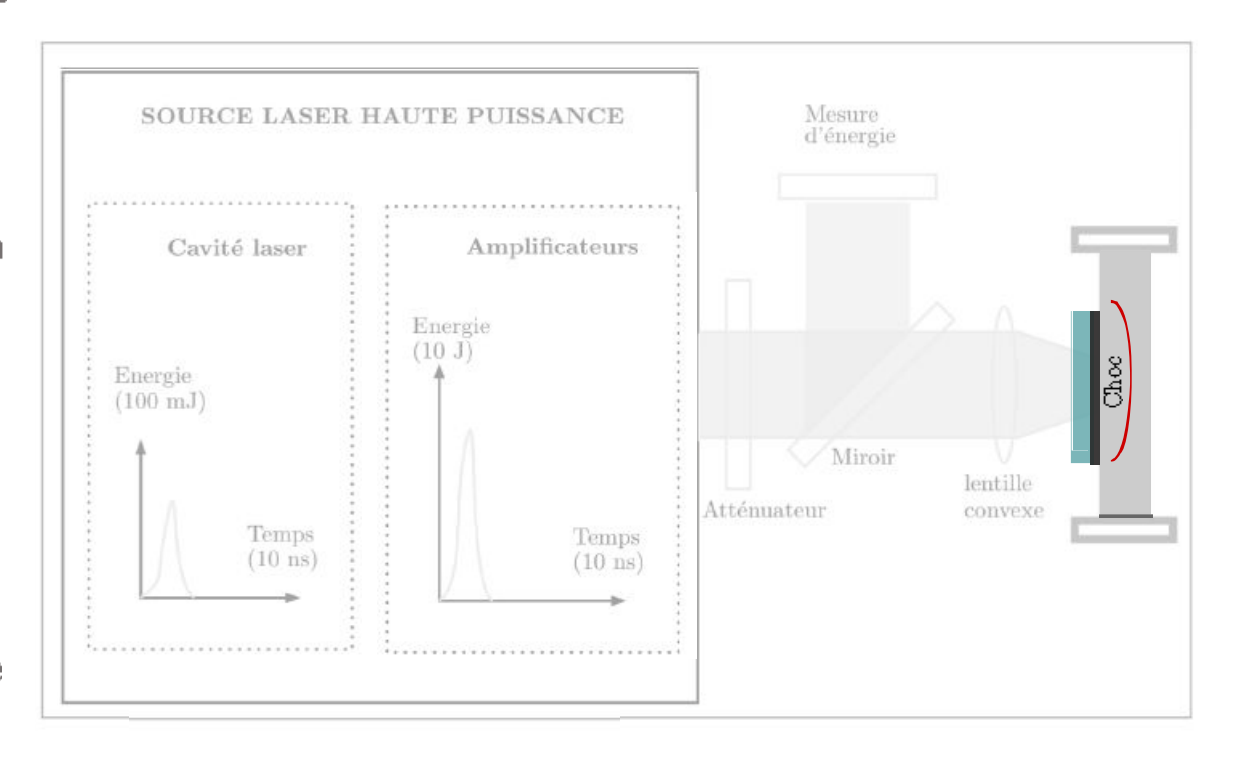
- Irradiation brève (Quelques ns) et intense (plusieurs GW/cm2) définie par la cavité
- Amplification
- Concentration de l'énergie LASER à l'aide d'une lentille convergente sur la cible

2. L'interaction Laser-Matière et génération de l'onde de choc

- Sublimation en plasma du milieu sacrificiel (dépôt d'aluminium)
- Dilatation du plasma
- Augmentation de la pression à l'aide du confinement
- Création d'un choc puis d'une détente

La propagation de l'onde de choc et génération du délaminage

- L'onde de choc et l'onde de détente se propage dans l'épaisseur
- Réflexion sur les parois
- Concentration des contraintes à l'intersection des ondes de détentes
- Apparition d'un délaminage





Le choc LASER: principe

Le choc LASER se décompose en trois phases :

La génération d'un rayonnement LASER et cheminement jusqu'à la cible

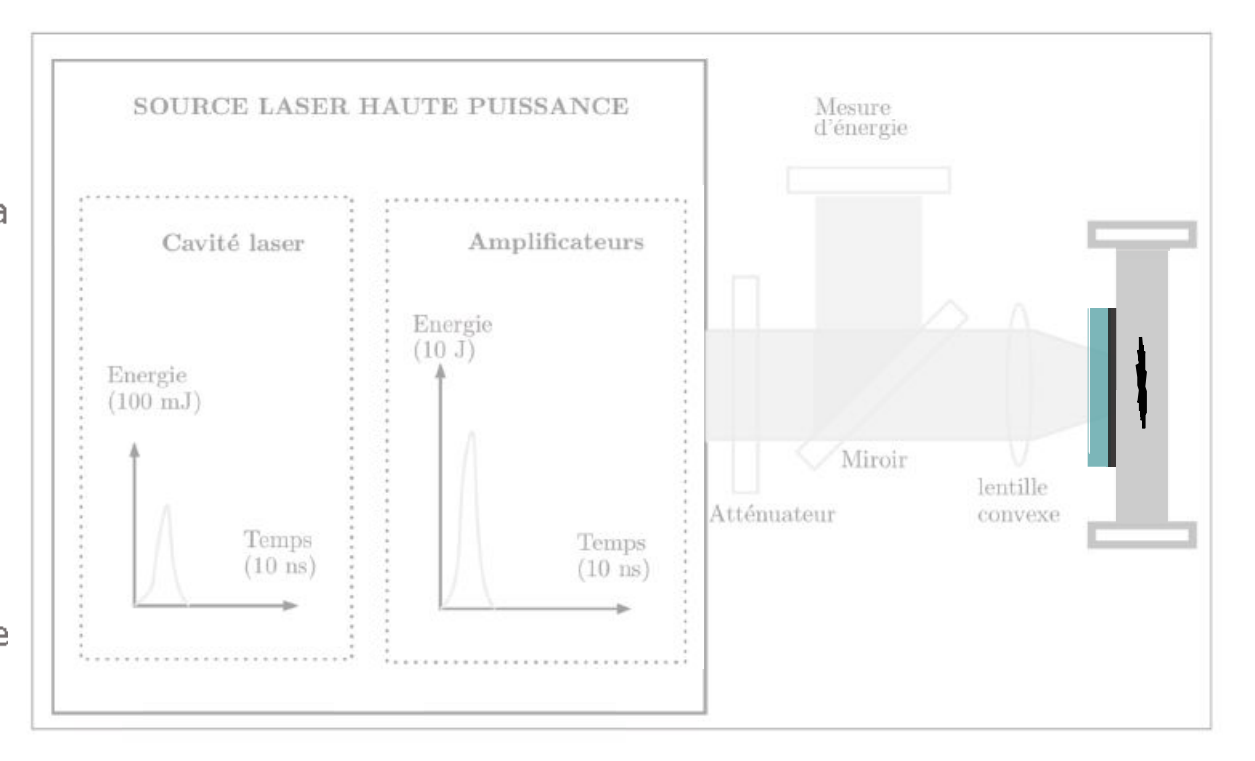
- Irradiation brève (Quelques ns) et intense (plusieurs GW/cm2) définie par la cavité
- Amplification
- Concentration de l'énergie LASER à l'aide d'une lentille convergente sur la cible

2. L'interaction Laser-Matière et génération de l'onde de choc

- Sublimation en plasma du milieu sacrificiel (dépôt d'aluminium)
- Dilatation du plasma
- Augmentation de la pression à l'aide du confinement
- Création d'un choc puis d'une détente

3. La propagation de l'onde de choc et génération du délaminage

- L'onde de choc et l'onde de détente se propage dans l'épaisseur
- Réflexion sur les parois
- Concentration des contraintes à l'intersection des ondes de détentes
- Apparition d'un délaminage





Le choc LASER: principe

Le choc LASER se décompose en trois phases :

La génération d'un rayonnement LASER et cheminement jusqu'à la cible

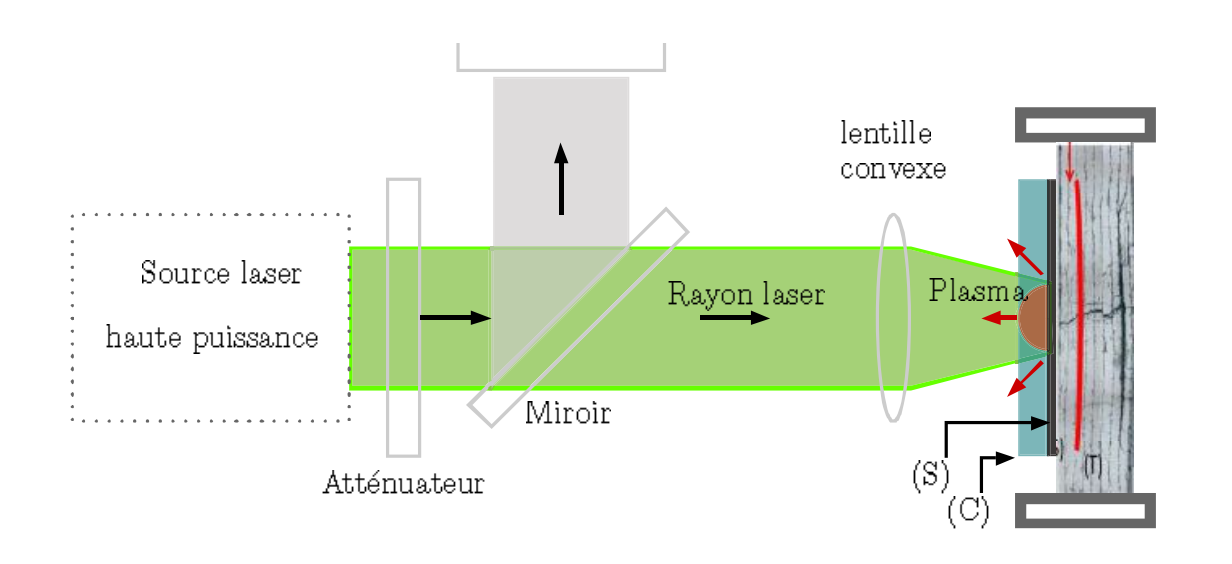
- Irradiation brève (Quelques ns) et intense (plusieurs GW/cm2) définie par la cavité
- Amplification
- Concentration de l'énergie LASER à l'aide d'une lentille convergente sur la cible

2. L'interaction Laser-Matière et génération de l'onde de choc

- Sublimation en plasma du milieu sacrificiel (dépôt d'aluminium)
- Dilatation du plasma
- Augmentation de la pression à l'aide du confinement
- Création d'un choc puis d'une détente

3. La propagation de l'onde de choc et génération du délaminage

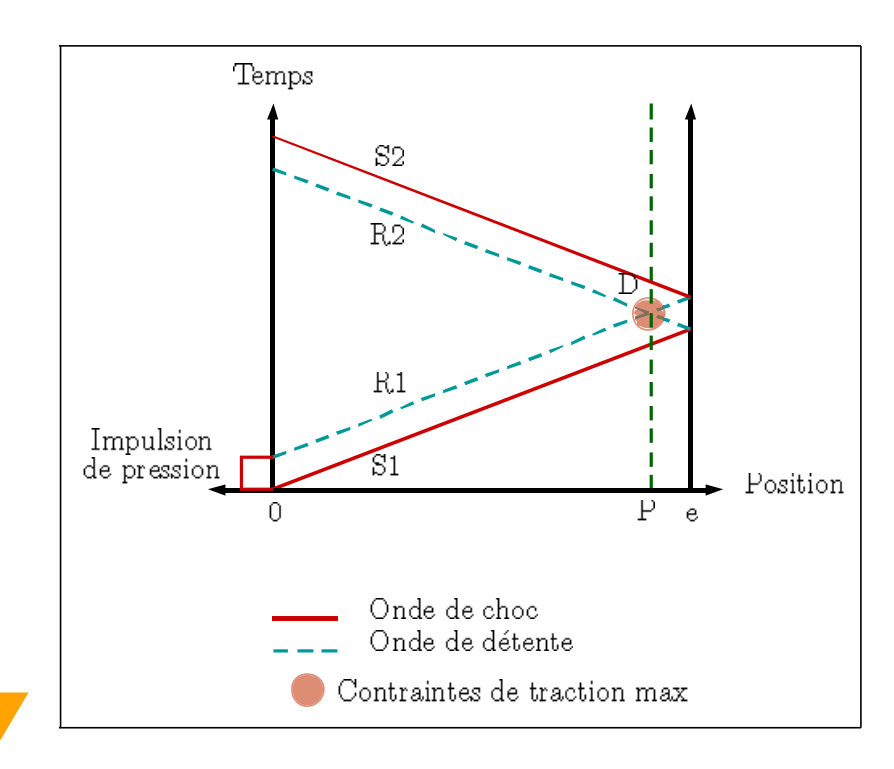
- L'onde de choc et l'onde de détente se propage dans l'épaisseur
- Réflexion sur les parois
- Concentration des contraintes à l'intersection des ondes de détentes
- Apparition d'un délaminage

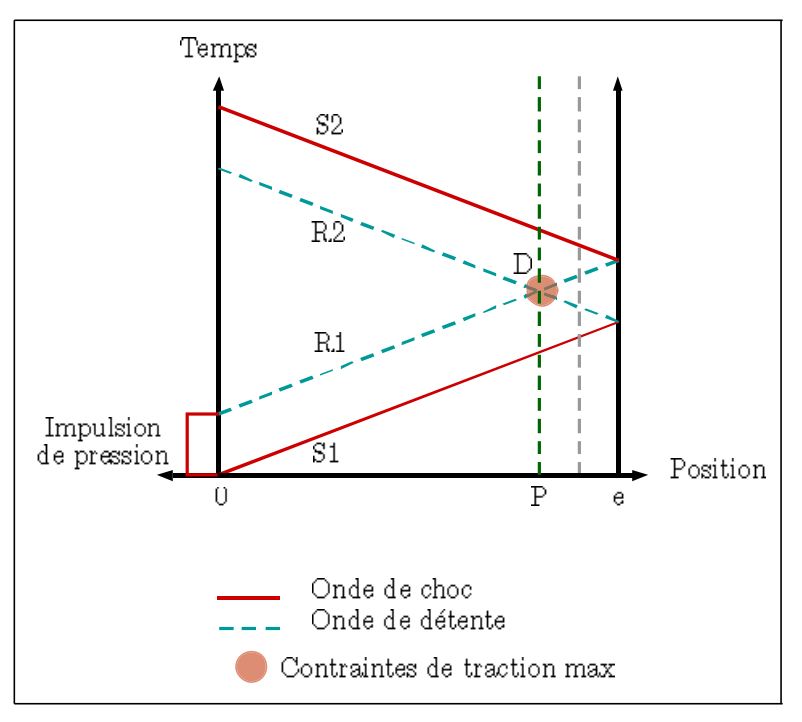




Propagation du choc : diagrammes XT

- Concentration des contraintes à l'intersection
- > Apparition du dommage à parti d'un seuil d'énergie
- La position du dommage dépend de la durée d'impulsion
- > Dommage réalisable à l'arrière uniquement

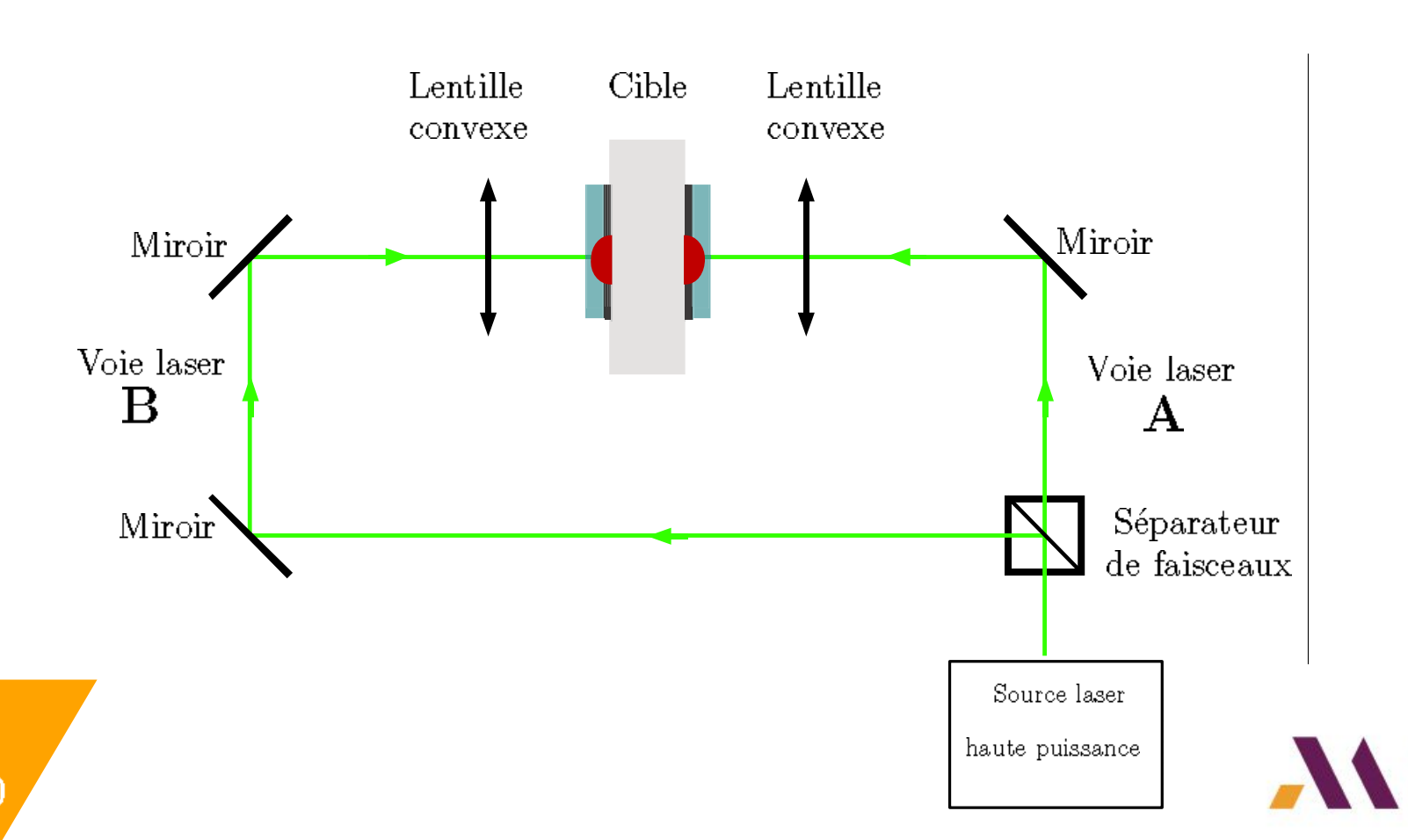




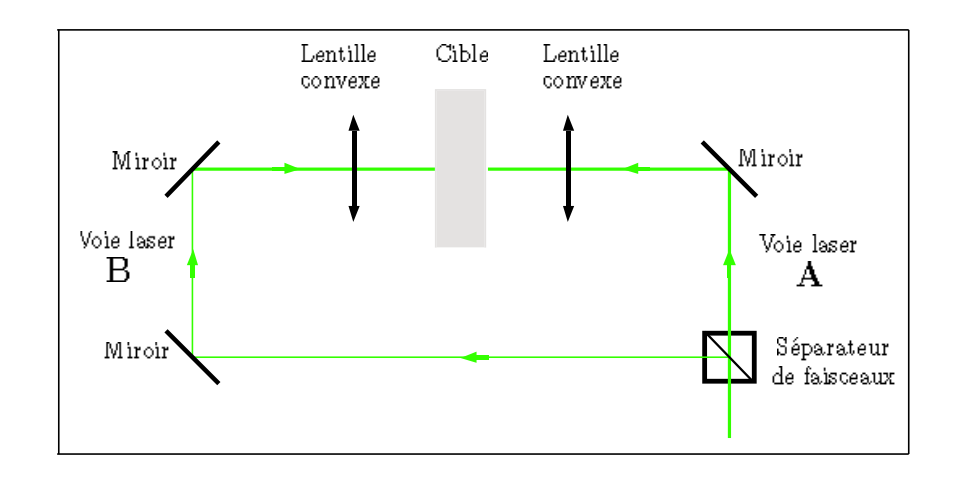


Amélioration : le choc symétrique

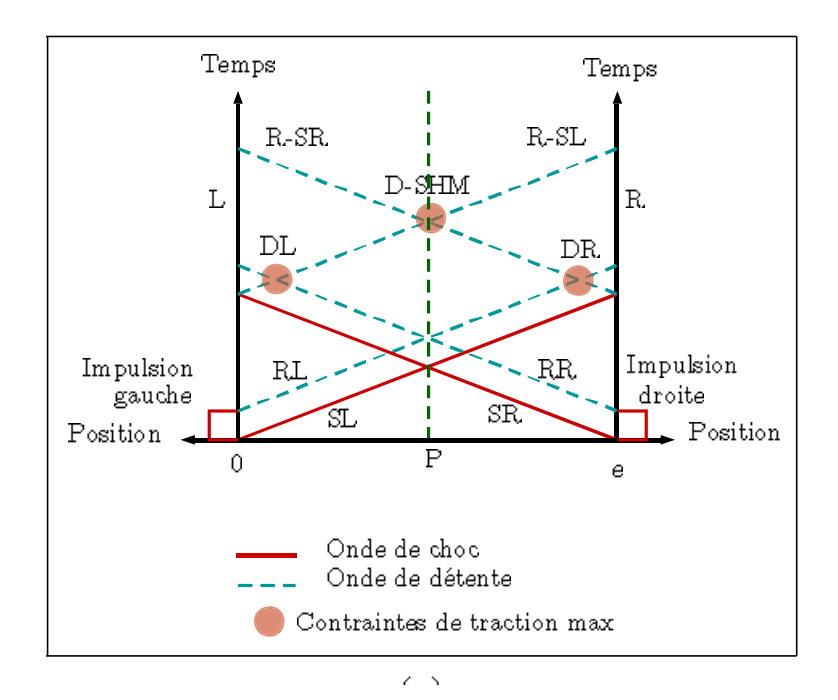
- 2 voies indépendantes
- > 2 tirs : un par face
- > Un délai possible entre chaque voie

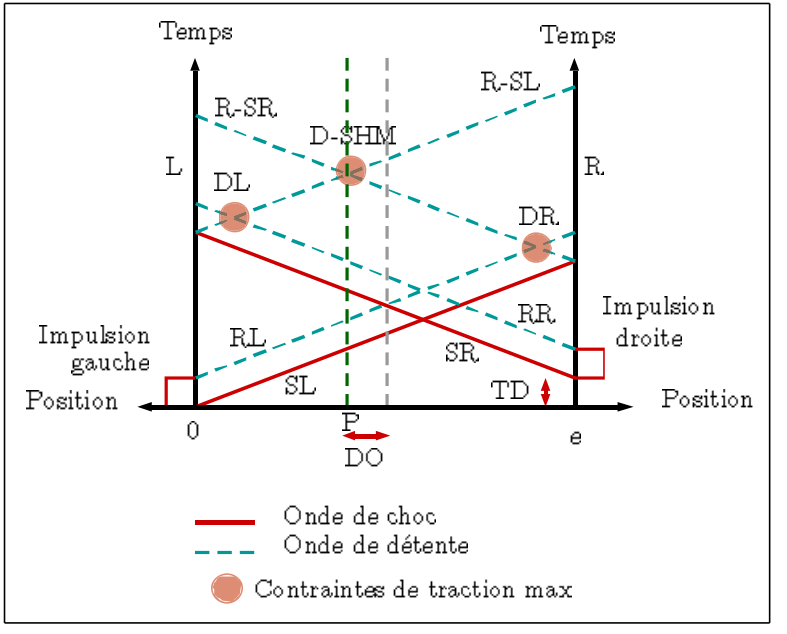


Optimisation du procédé par tirs symétriques



- > Profondeur modifiée par le délai
- > Seuils à respecter

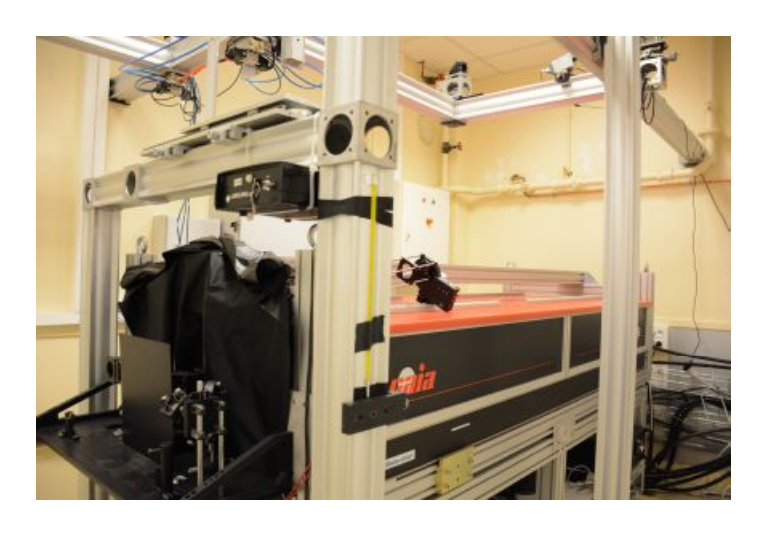




 $a \sim$



La Plateforme Héphaïstos du PIMM



LASER GAIA THALES:

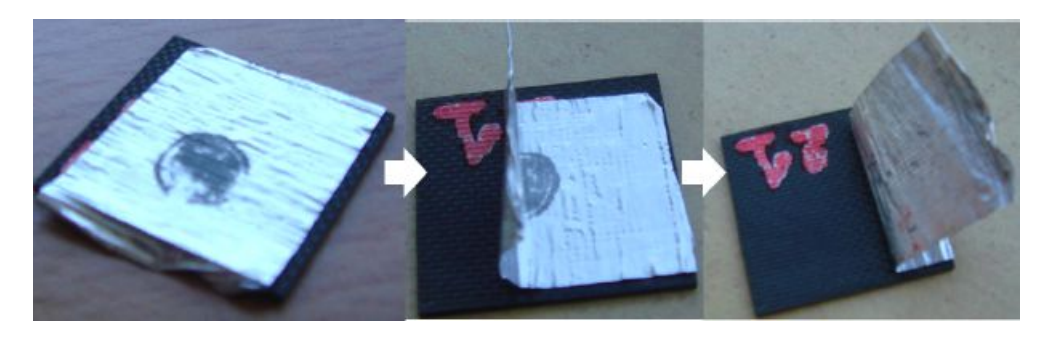
- $\lambda = 532 nm$
- 2 voies indépendantes
- Jusqu'à 14J







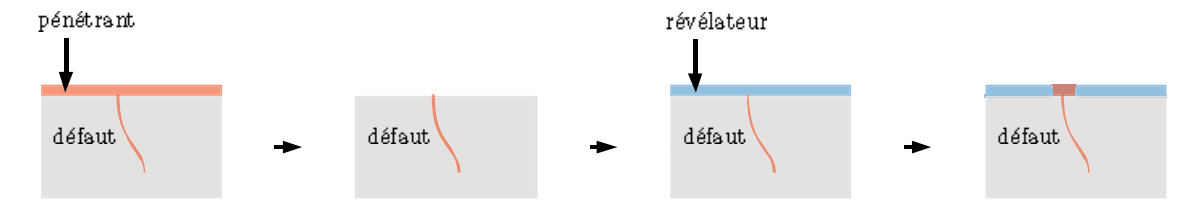
Résultat : Un endommagement maitrisé



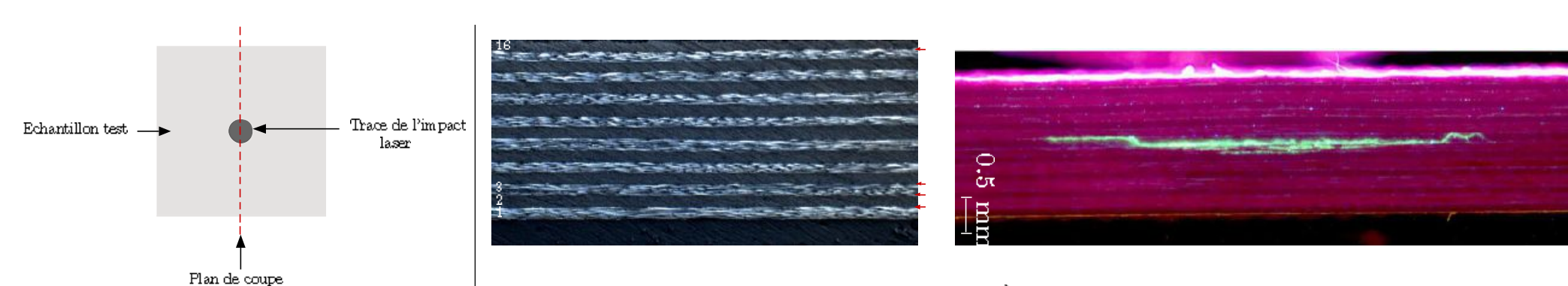
Échantillon après impact avec dépôt d'aluminium

La caractérisation du dommage se fait par :

- CND ultrason
- Ressuage sur les coupes micro



Procédé de ressuage

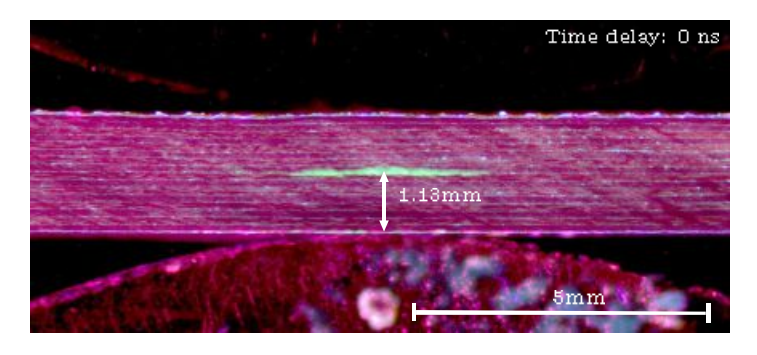


Coupe microscopique avant impact et après impact avec ressuage

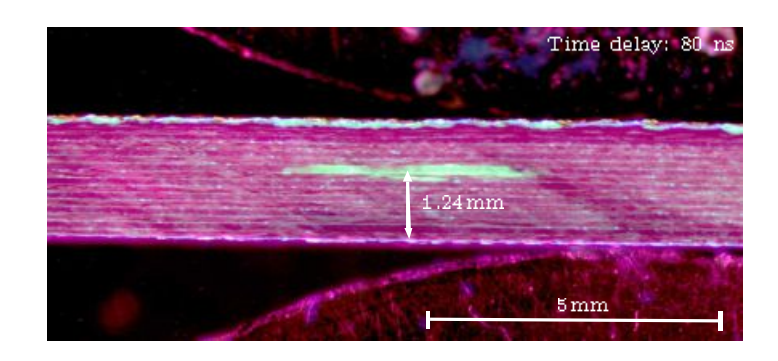


Résultat : un endommagement maitrisé

Modification de la profondeur

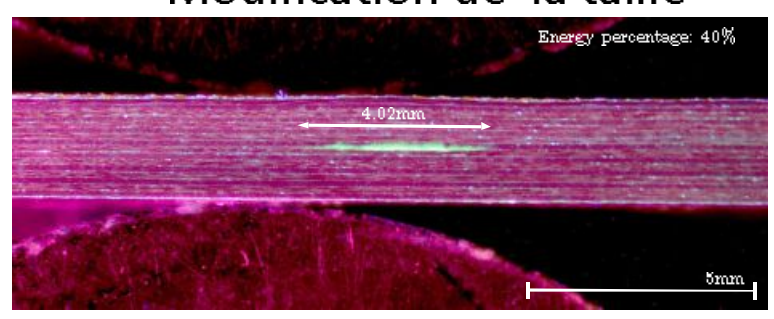


Délai 0 ns

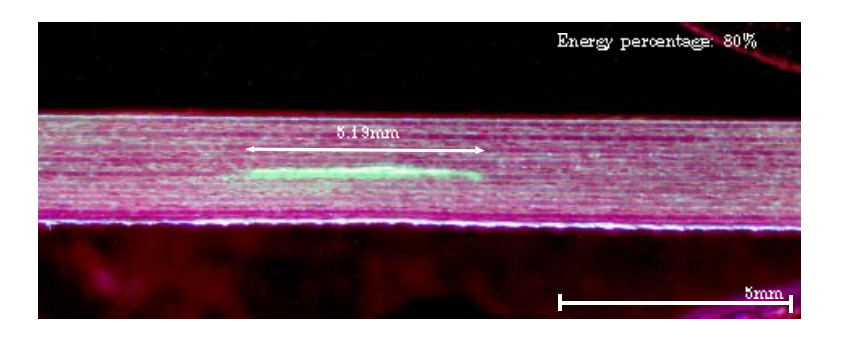


Délai de 80 ns

Modification de la taille



40% de l'énergie nominale

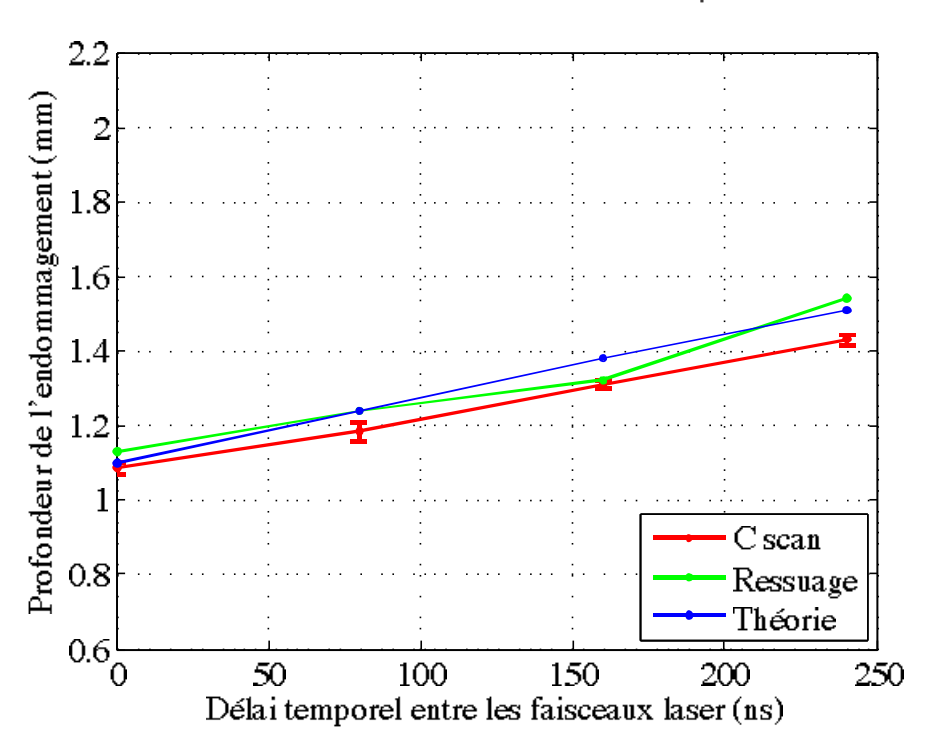


80% de l'énergie nominale

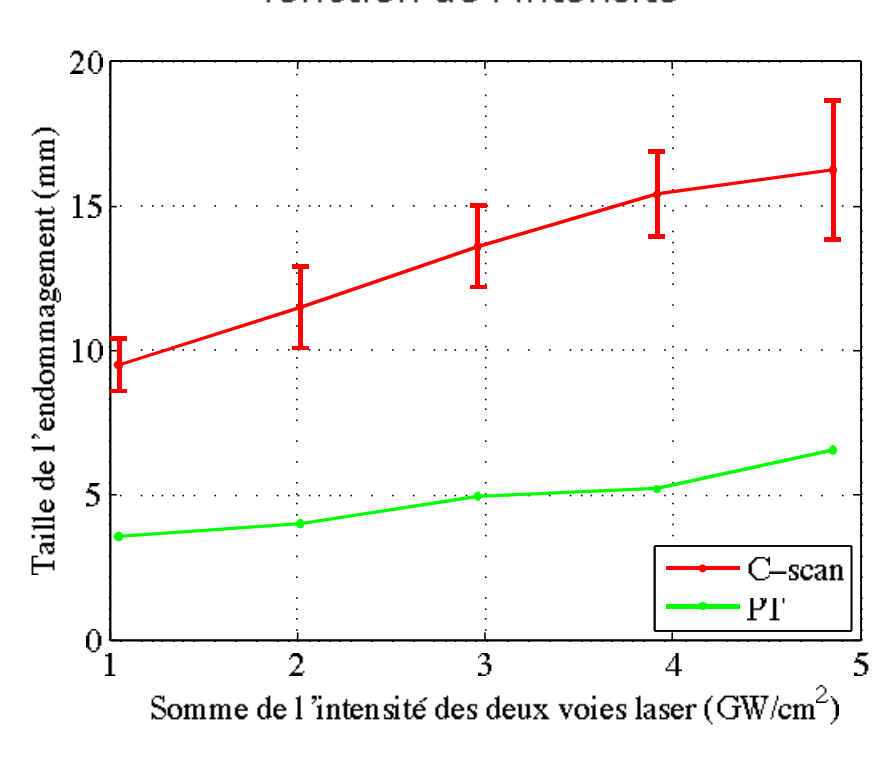


Un endommagement maitrisé

Profondeur de l'endommagement en fonction du délai temporel

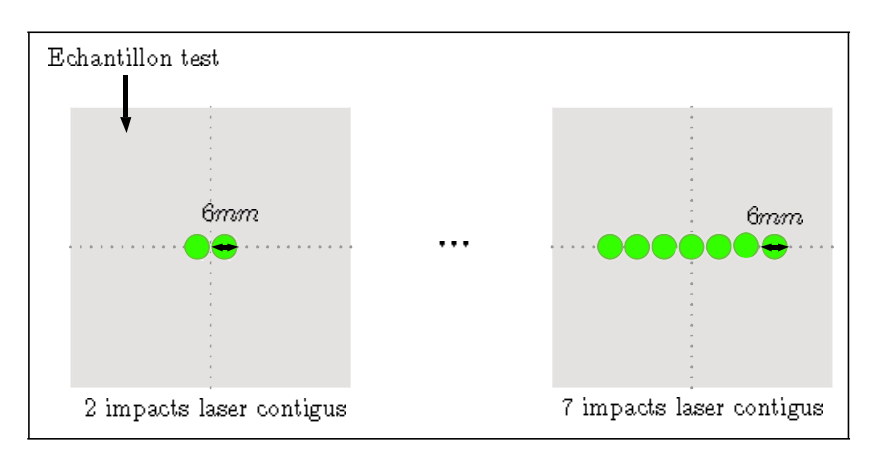


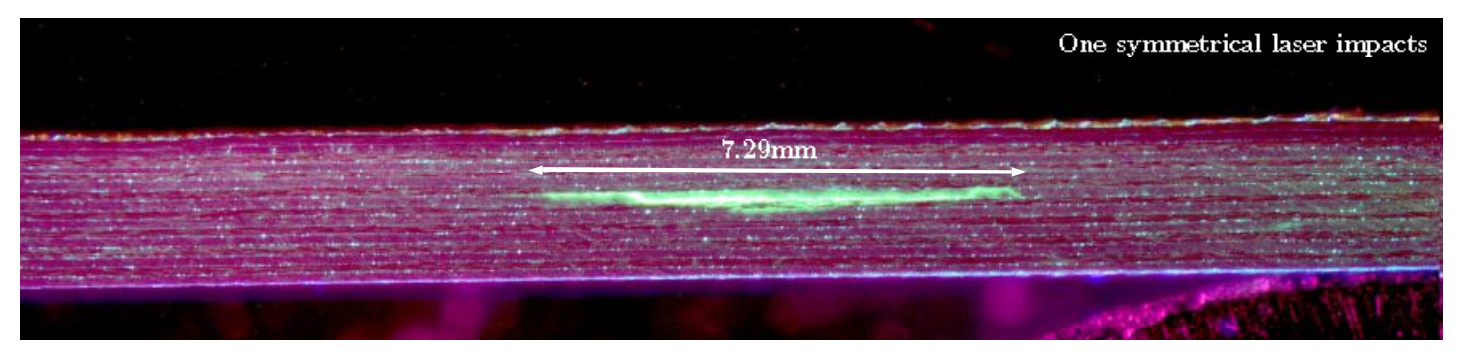
Taille de l'endommagement en fonction de l'intensité



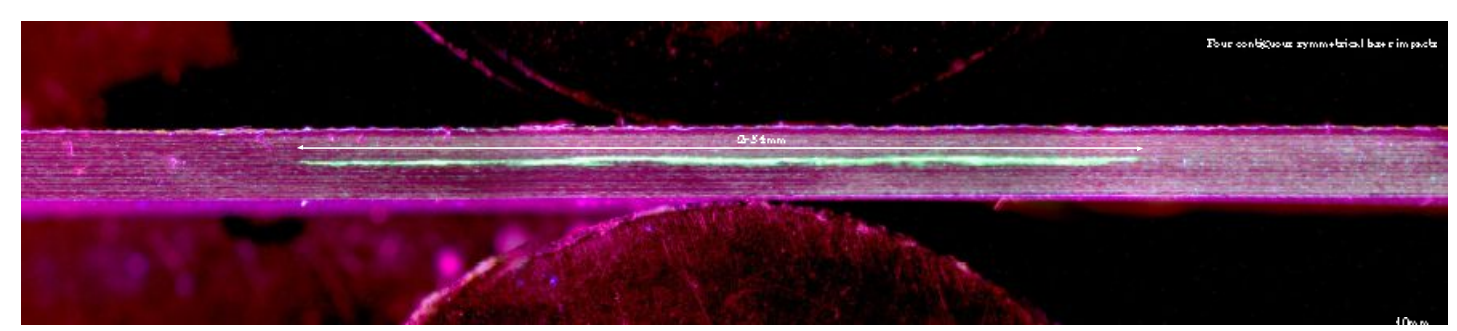


Un endommagement maitrisé





taille de l'endommagement pour un impact



taille de l'endommagement pour quatre impacts contigus



Un endommagement maitrisé



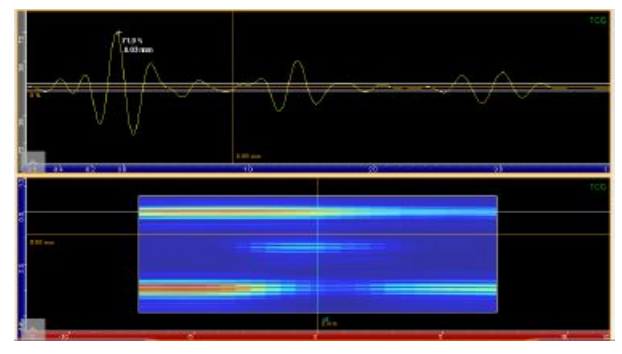


Décalage vers la droite : endommagements de 7,2 mm (199-200) et 7,8 mm (201-202)

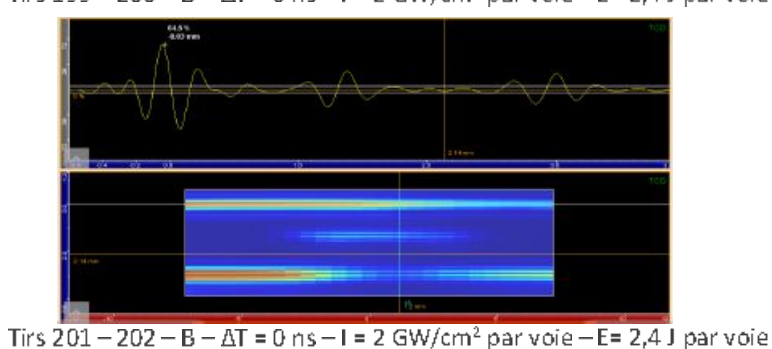


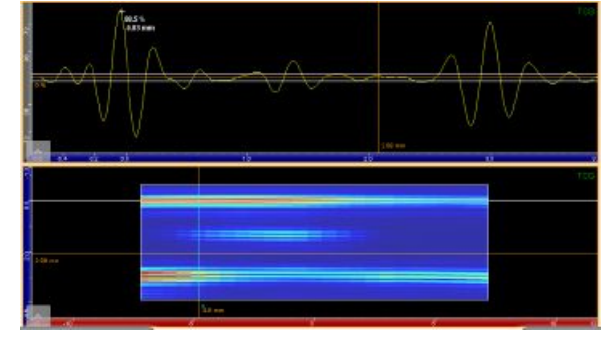


Décalage vers le bas : endommagements de 8,4 mm (203-204) et 9 mm (209-210)

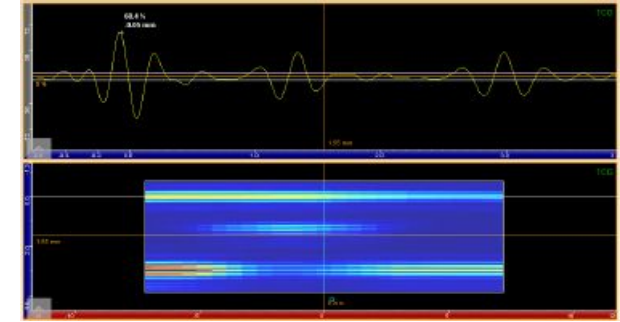


Tirs $199 - 200 - B - \Delta T = 0$ ns -1 = 2 GW/cm² par voie -E = 2.4 J par voie





Tirs $203 - 204 - B - \Delta T = 0$ ns -1 = 2 GW/cm² par voie $-E = 2_{t}4$ J par voie



Tirs $209 - 210 - B - \Delta T = 0 \text{ ns} - I = 2 \text{ GW/cm}^2 \text{ par voie} - E = 2,4 \text{ J par voie}$



Des applications multiples

Ce procédé peut connaitre des applications industrielles diverses :

1 Fabrication de cales étalons pour les CND

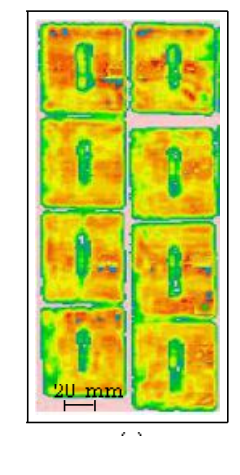
- les cales étalons actuelles avec des défauts artificiels
- défauts plus réalistes
- Application directe du procédé

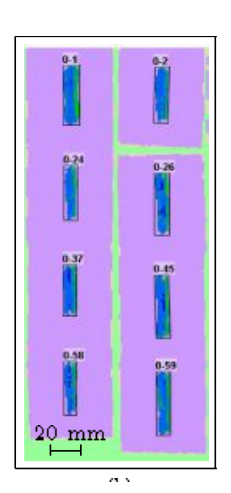
2. Création de dommage maitrisé pour le SHM

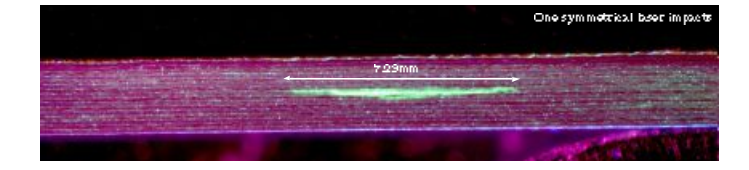
- Toutes les formes de dommages
- Toutes les positions de dommages
- Augmentation progressivement de la taille d'un dommage
- Possible de rajouter des dommages entre chaque mesure

3. Désassemblage des pièces aéronautiques

Assemblages collés composite/métal



































Conclusion

- Le choc Laser symétrique offre la possibilité de créer des vrais délaminages
- L'endommagement maitrisé :
 - ✓ Taille
 - ✓ Position
 - ✓ Profondeur
 - √ Forme
- Les applications multiples :
 - Désassemblage
 - S CND
 - > SHM
- Possibilité de tester et valider nos procédés SHM



<u>Références</u>

Simon Bardy, Contrôle et optimisation du test d'adhérence par choc laser sur assemblages collés. Ecole nationale supérieure d'arts et métiers - ENSAM, 2017

Romain Ecault. Etude expérimentale et numérique du comportement dynamique de composites aéronautiques sous choc laser. Optimisation du test d'adhérence par ondes de choc sur les assemblages composites collés. ISAE-ENSMA Ecole Nationale Supérieure de Mécanique et d'Aérotechique - Poitiers, 2013.

Meriem Ghrib, Contrôle santé des structures composites : génération de délaminages par choc laser et quantification par apprentissage machine », Ecole nationale supérieure d'arts et métiers - ENSAM, 2017

Maxime Sagnard, Laurent Berthe, Romain Ecault, Fabienne Touchard, Michel Boustie. Etude des effets d'un choc laser symétrique sur des assemblages collés de composites dans le cas d'un joint faible. Journées Nationales sur les Composites 2017, École des Ponts ParisTech (ENPC), Jun 2017

